Palco Incasso / Superficie

Design Artec Studio | **iGuzzini**

Ultimo aggiornamento delle informazioni: Ottobre 2024

Configurazione di prodotto: QC25
QC25: Palco incasso lineare 3 x Ø37 - flood - driver remoto

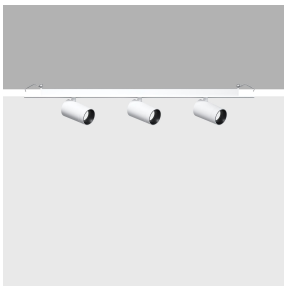

Codice prodotto
QC25: Palco incasso lineare 3 x Ø37 - flood - driver remoto

Descrizione tecnica
Apparecchio lineare per installazione ad incasso con 3 proiettori orientabili miniaturizzati. Corpo proiettori con sistema di dissipazione in alluminio pressofuso - gruppi di rotazione in fusione di zama - struttura lineare per incasso composta da profilo interno in alluminio estruso, testate e piastra di battuta in acciaio verniciato - molle di fissaggio in filo di acciaio. Gli snodi dei proiettori permettono la rotazione di 360° e l'inclinazione di 90°. I gruppi ottici in posizione arretrata garantiscono un elevato comfort visivo con lenti ad alta definizione in materiale termoplastico. Alimentatore non incluso, disponibile con codifica separata.

Installazione
Basetta lineare ad incasso con battuta da superficie - molle di bloccaggio in filo di acciaio per controsoffitti da 1 a 25 mm - asola di preparazione 24 x 315 mm. Possibilità di installazione adiacente per versioni lineari a formare una linea continua.

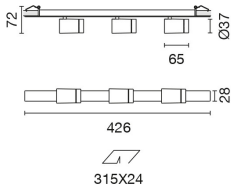

Colore	Peso (Kg)
Bianco (01) | Nero (04)	0.51

Montaggio
incasso a parete|incasso a soffitto

Cablaggio
Cavi in uscita per collegamenti alla linea di alimentazione.

Note
Disponibili accessori tecnici e anti-abbagliamento.

Soddisfa EN60598-1 e relative note

IP20

Dati tecnici

Im di sistema:	1350	CRI (minimo):	90
W di sistema:	24.3	Temperatura colore [K]:	2700
Im di sorgente:	750	MacAdam Step:	2
W di sorgente:	8.1	Life Time LED 1:	> 50,000h - L90 - B10 (Ta 25°C)
Efficienza luminosa (lm/W, dati di sistema):	55.6	Codice lampada:	LED
Im in modalità emergenza:	-	Numero di lampade per vano ottico:	1
Flusso totale emesso a 90° o superiore [Lm]:	0	Codice ZVEI:	LED
Light Output Ratio (L.O.R.) [%]:	60	Numero di vani ottici:	3
Angolo di apertura [°]:	45°	Corrente LED [mA]:	650

Polare

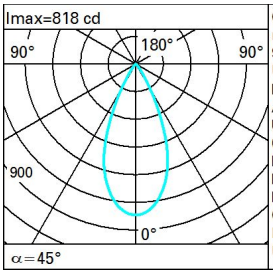

CIE
nL 0.60
97-100-100-100-60
UGR 18.1-18.1
DIN
A.61
UTE
0.60A+0.00T
F"1=975
F"1+F"2=999
F"1+F"2+F"3=1000
CIBSE
LG3 L<1500 cd/m² at 65°
UGR<19 I L<1500 cd/mq @65°

Lux

h	d	Em	Emax
1	0.8	639	818
2	1.7	160	205
3	2.5	71	91
4	3.3	40	51

Coefficienti di utilizzazione

R	77	75	73	71	55	53	33	00	DRR
K0.8	54	51	49	47	50	48	48	46	77
1.0	56	53	51	50	53	51	51	49	81
1.5	59	57	55	54	56	55	54	53	88
2.0	61	59	58	57	59	58	57	55	92
2.5	62	61	60	59	60	59	59	57	95
3.0	63	62	61	61	61	61	60	58	97
4.0	64	63	63	62	62	62	61	59	99
5.0	64	64	63	63	63	62	61	60	100

Curva limite di luminanza

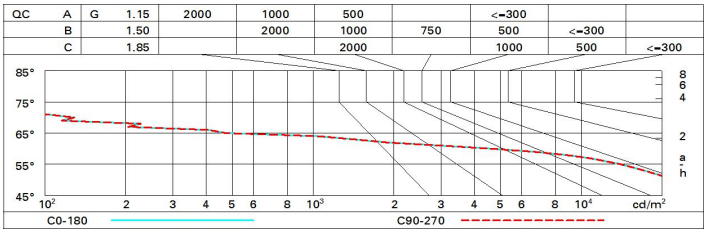

Diagramma UGR

Corrected UGR values (at 750 lm bare lamp luminous flux)

Riflect.:											
ceil/cav		0.70	0.70	0.50	0.50	0.30	0.70	0.70	0.50	0.50	0.30
walls		0.50	0.30	0.50	0.30	0.30	0.50	0.30	0.50	0.30	0.30
work pl.		0.20	0.20	0.20	0.20	0.20	0.20	0.20	0.20	0.20	0.20
Room dim		viewed crosswise					viewed endwise				
x	y										
2H	2H	18.6	19.3	18.9	19.5	19.7	18.6	19.3	18.9	19.5	19.7
	3H	18.5	19.1	18.8	19.3	19.6	18.5	19.1	18.8	19.4	19.6
	4H	18.4	19.0	18.8	19.2	19.5	18.4	19.0	18.8	19.3	19.6
	6H	18.3	18.8	18.7	19.1	19.5	18.4	18.8	18.7	19.2	19.5
	8H	18.3	18.8	18.7	19.1	19.4	18.3	18.8	18.7	19.1	19.5
	12H	18.3	18.7	18.6	19.1	19.4	18.3	18.7	18.7	19.1	19.4
4H	2H	18.4	19.0	18.8	19.3	19.6	18.4	19.0	18.8	19.2	19.5
	3H	18.3	18.7	18.7	19.1	19.4	18.3	18.7	18.7	19.1	19.4
	4H	18.2	18.6	18.6	19.0	19.3	18.2	18.6	18.6	19.0	19.3
	6H	18.1	18.5	18.5	18.9	19.3	18.1	18.5	18.5	18.9	19.3
	8H	18.1	18.4	18.5	18.8	19.2	18.1	18.4	18.5	18.8	19.2
	12H	18.0	18.3	18.5	18.7	19.2	18.0	18.3	18.5	18.7	19.2
8H	4H	18.1	18.4	18.5	18.8	19.2	18.1	18.4	18.5	18.8	19.2
	6H	18.0	18.2	18.4	18.7	19.2	18.0	18.2	18.4	18.7	19.2
	8H	17.9	18.1	18.4	18.6	19.1	17.9	18.1	18.4	18.6	19.1
	12H	17.9	18.1	18.4	18.5	19.1	17.9	18.1	18.4	18.5	19.1
12H	4H	18.0	18.3	18.5	18.7	19.2	18.0	18.3	18.5	18.7	19.2
	6H	17.9	18.1	18.4	18.6	19.1	17.9	18.1	18.4	18.6	19.1
	8H	17.9	18.1	18.4	18.5	19.1	17.9	18.1	18.4	18.5	19.1

Variations with the observer position at spacing:

S =	1.0H	5.2 / -8.8	5.2 / -8.8
	1.5H	8.0 / -22.1	8.0 / -22.1
	2.0H	10.0 / -34.7	10.0 / -34.7